

腾格里沙漠东南边缘  
格状新月形沙丘  
凝结水的研究

## 一 前 言

## 二 測定方法

## 三 測定結果

(一) 利用上述方法測得的結果

(二) 40 ~ 50 厘米沙層中之凝結水

## 四 總 結

# 腾格里沙漠东南部边缘格状新月形沙丘沙层凝结水的研究

(1961年工作总结之二摘录)

## 一、前言

我们所说的凝结水，是指水气凝结在沙层中沙粒上的那部分液态水分，而不是凝结在地表上，或其他物体上那部分水分，前者称为土壤凝结水，后者称为露水。

我们的试验地区，属于半荒漠地区，该区特点是，降水少，分布不均匀，多集中于秋季，夏季几乎无雨，有时还出现极干旱年，降水量不足90毫米。格状沙丘稳定性含冰率为2~3%，凋萎含水率为0.68%，实际有效水为1.32~2.32%，为数甚微。因而，每逢旱季或旱年，对固沙植物的生存都有很大威胁，同时也是人们最担心的问题。但是，根据现有实测资料看，沙层中确实有凝结水存在，其量经数小时，或一昼夜，即可补给1米沙层0.15~3.02立方公尺/公顷。不难设想，这样多的水分，会大大提高实际有效含水率，它对保证固沙植物渡过旱季或旱年有很大作用。

严格说来，此项工作仅仅是个开端，並偏重於测定方法的试验方面，我们认为第五种方法比较接近实际情况，所以，也是本文讨论的重点。本文也将前两年所用过的方法及测得的数据一并列入文内，供今后工作参考。

## 二、观测方法

从现有资料看，研究者曾用过许多方法。苏联宽密曾用过梯度法和电测水分仪测定土壤湿度方法；于·H·瓦拉托波euse-HCKMII 在阴棚下设置无底试孔和有底试孔测定过凝结水<sup>2</sup>，瓦·D-

~ ~ ~

НИКИТИН и А. Н. БЕРЕЖИХИНА 用小玻璃杯装成块状土放置在钻孔内，测定时森林土壤之凝结水<sup>3</sup>。此外，有的学者在土壤壁上直接取样测定凝结水<sup>4</sup>。也有观测沙层相对湿度变化藉此计算凝结水。观测方法正确与否，直接影响到成果。我们认为在选择方法时，应考虑到以下因素的影响。

- 1) 不应有雨水参与；
- 2) 测定地段空气应自由通过，不得受阻挡；
- 3) 不应有膜状水参与，或设法分开；
- 4) 样品不应受露水或大气温度之影响；
- 5) 试样温度最好与测定地段沙的温度相同。

三年来我们曾用过五种方法，根据上述见解，逐年改进，现分述于下：

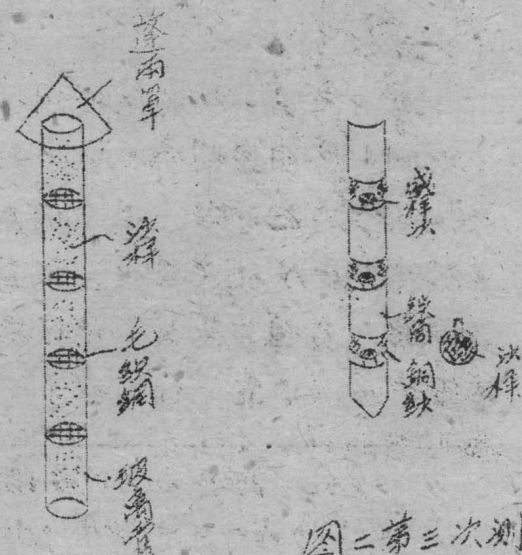
图一是第一种方法略图。该装置是由直径 2.6 cm 的玻璃管，毛细管和遮雨罩拼成。测定时，管中装入接近最大吸湿量 (0.26 ~ 0.39%) 的沙样，层次间用毛细隔开，垂直插入沙中，经一个月取出，分层测定湿度，放置时的湿度减去观测时的湿度，正值为凝结，负值为蒸发。该方法缺点在于，空气受管壁阻碍，只能垂直流通，不能平行交换；

1. 1960. 气物站工作总结： 2. Э. Н. Бережихина и Н. С. Никитин. О конденсации влаги в почвах пустыни. Пустыни СССР и их освоение. II; 3. П. Н. Никитин и А. Н. Бережихина. О конденсации и водяных паров воздуха в почве лесных насаждений. Почвоведение. 1949. №. 12; 4.见 the water consumption of pine plants 一文（打字材料）

第二种方法是取样法。即先将预测地段之沙挖松，掺混，使颗粒及水分混合均匀，后，压紧，放置数十天，在其上打孔取样测定含水量，比较相隔两次含水量之差而得凝结水值。此方法亦有缺点，即颗粒不易混合均匀，历次样品本身含水量存在差异，其次是，颗粒上有膜状水移动，难与由水气凝结之固态水分分开。

图二是第三种方法。它是由直径7 cm铁筒，铜沙网和细沙盆组成。铁筒分三节，两端焊死，节间用铜沙网连接，在连接处内置盛样沙网，样品用纱布包扎，放置在沙网上，观测时，将筒垂直放入在钻孔内，过段时间或数天称量样品重量变化，烘干后求出含水量。它的缺点是，观测时，必须将筒拔出，因而筒壁与钻孔壁之沙不能密接，存有空隙，空气可直接侵入，影响准确性。

图三是第四种方法略图。其下端为一带孔金，上面焊一铁管，一端接温度计，一端装沙样，沙样是用纱布包扎的，糊在木棍下端胶垫的下面。当样品放入筒时，样品就装在带孔金内，胶垫可将筒孔堵住，空气不能侵入。观测时，藉反覆称量样品重量变化求得凝结值。此法缺点是，样品必须取出称重，需一段时间，难免水分损失。

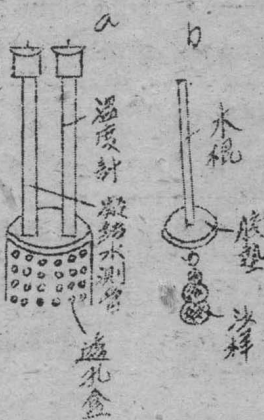


图二第三次测定装置

图一第一次测定装置

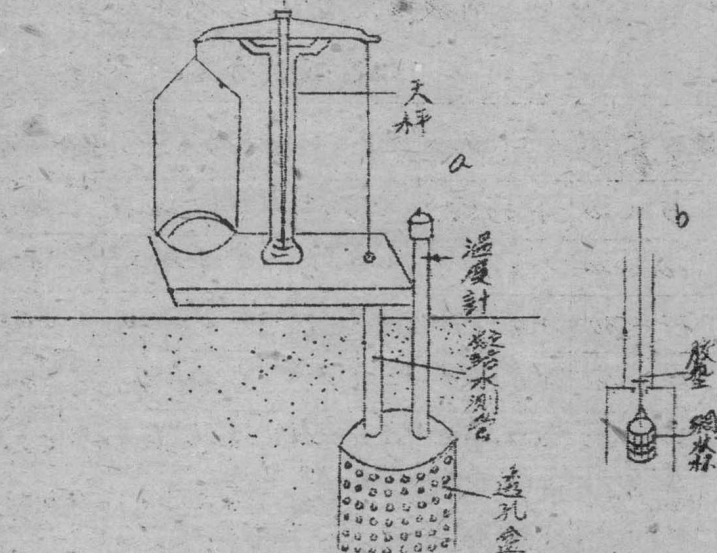
(1959)

\* 1960年试用过。



图三 第四次测定装置  
(1961)

a 外形  
b 筒内装置



图四 第五次测定装置 (1961)

a 外形  
b 筒内装置

图四是第五种方法。它与图三不同地方是 样品不须取出，用细状杯装置，直接挂在天秤钩上，打开天秤即可称量，放下天秤校准将盖孔自动盖住，空气不得侵入。

### 三、测定结果：

一、利用上述方法测得的结果

表一是 1959 年利用玻璃管装置测得的结果。从中看出整个 80 cm 层 6 月 25 日至 7 月 25 日盐结量为 0.088 ~ 0.194%，8 月 26 日 ~ 9 月 25 日为 0.002 ~ 0.172%，9 月 26 日 ~ 10 月 25 日，30 cm 以下各层有盐结，为 0.01 ~ 0.10%，10 月 26 日 ~ 11 月 25 日为 0.025 ~ 0.072%，其余时间蒸发占绝对优势。用此法测得的大、小范围为 0.002 ~ 0.194%。

## 表一 用玻璃测定格状沙立沙层凝结水试验结果

(绝对干沙重的 %)

1959

测 量 期 间	6.25~7.25	7.26~8.25	8.26~9.25	9.26~10.25	10.26~11.25	11.26~12.25
0~10	+0.088	-0.075	-0.014	-0.011	+0.069	-0.042
10~20	+0.141	-0.024	+0.002	-0.009	—	-0.108
20~30	+0.128	-0.070	+0.018	-0.002	+0.025	-0.129
30~40	+0.135	-0.029	+0.034	+0.010	-0.000	-0.152
40~50	+0.198	-0.020	+0.021	+0.026	-0.032	-0.157
50~60	+0.178	—	+0.172	+0.039	-0.029	-0.146
60~70	+0.194	—	+0.061	+0.069	-0.010	-0.174
70~80	+0.167	—	+0.088	+0.101	+0.072	-0.075

表二是利用第二种方法测得的数据，可以看出除地表层外，最高凝结值为 0.254%，最低为 0.041%。

关于第三种方法，我们仅观测数次，认为存在问题不少，中途停止了观测。

表三是利用第四种方法测得的数据，从中看出，1 时均为蒸发，19 时除个别数值外，均为凝结，其值由 0.01~0.10%。该凝结时间正好与表二时间相反。应该说明，观测时，23 日和 25 日为阴天，24 日降雨 0.4 mm，风速 0.1~1.2 m/s。

用第五种测得的数据列于表五中，该方法获得的最低与最高值为 0.001~0.02%。

比较上述方法测得的最高与最低值不难看出（见表四），虽然测定时间不同，天气状况不一，前三方法之值较高，后一方法最低，我们认为第五种方法比较接近实际情况。

## (二) 40~50 厘米沙层的凝结水

我们用第三种方法特意观测了 40~50 cm 沙层的凝结水。

— 6 —

仪器是在 8 月 16 日接装的，9 月 14 日开始观测。沙样取于试验地段，湿度为 158%。在剖另沙样同时，还观测了沙温及一木高相对湿度，结果列于下表（见次页表五）

用直接取样法测得结果

第四种方法测得的数据

表二

1960.8

表三

1961.6 (干湿差的%)

时间 日期	7	19	7	19
地 表				
25	—	—	23	-0.01 +0.02
26	+0.073	-0.109	24	-0.01 +0.01
27	+0.147	-0.180	25	-0.03 -0.01
20 厘米层				
25	—	—	23	-0.05 +0.07
26	+0.073	-0.109	24	-0.00 +0.04
27	+0.147	-0.180	25	-0.01 +0.10
40 厘米层				
25	—	—	23	-0.05 +0.07
26	+0.043	-0.147	24	-0.00 +0.04
27	—	-0.070	25	-0.00 +0.04
60 厘米层				
25	—	—	23	-0.01 +0.02
26	+0.072	+0.041	24	-0.01 +0.06
27	+0.007	+0.072	25	-0.04 +0.06
80 厘米层				
25	—	-0.070	23	-0.04 +0.06
26	+0.072	+0.041	24	-0.00 +0.00
27	+0.007	+0.072	25	-0.00 +0.00
100 厘米层				
25	—	+0.210	23	-0.11 +0.04
26	+0.158	-0.139	24	-0.04 +0.04
27	-0.294	+0.254	25	-0.02 +0.08

\* 湿差的%

腾——7—

表四、用各种方法测得的最大值与最小值

方 法	凝结水值的范围 (%)
第一种方法	0.002 ~ 0.194
第三种方法	0.041 ~ 0.254
第三种方法	0.01 ~ 0.10
第四种方法	0.001 ~ 0.020

表五 格状沙丘 40 厘米深处沙层的水分凝结量与蒸发量(绝对干次每的 %), 961

日期 \ 时问	1	7	13	19
14	—	—	+0.003	-0.015
15	+0.004	-0.011	+0.020	-0.009
16	-0.004	±0.000	+0.013	-0.009
17	+0.020	±0.000	-0.002	±0.000
18	+0.013	-0.001	+0.001	±0.000
19..	±0.000	+0.002	—	+0.003
20.	+0.002	+0.016	+0.002	-0.016
21.	-0.002	±0.000	+0.003	±0.000

表五是两次相邻观测时间内，样地含水率差。正号表示凝结，负号表示蒸发。从中看出，凝结量最低最高值为 0.001 ~ 0.02%，凝结与蒸发交替进行，即在 4 小时内有时蒸发占优势，有时则凝结占优势。

格状沙丘 40 ~ 50 厘米深处沙层之容重有 1.51，又知道最低与最高凝结量，则根据下式求出一米深沙层凝结量为 0.015 ~ 0.03 mm.

~8~

$$W_H = (W \times P \times h) \alpha$$

$W$  = 凝结量 (%)

$P$  = 容量

$h$  = 汽层厚度 (cm)

$$W_H = 1 \text{ 米汽层凝结量 (mm)}$$

換句話說，每經過 3~4 小時彷彿有 0.15~0.3 毫米之雨水降入汽層中供給植物，則一米汽層一公頃面積就含有 0.15~0.302 立方公尺之凝結水。

從表五中還可看出，產生凝結水的時間是在 8 时和 13 时。19 时蒸發佔優勢，7 时處於二者之間。為了查明凝結時間，我們又進行了每隔二小時的觀測。表六是觀測結果。其中數字表明，每昼夜有兩次凝結，即 11~15 时和 21~1 时。蒸發亦有兩個時間，即 17~19 时和 5~9 时。應當指出，凝結出現的時間應隨有關天氣因子而變化，故上述凝結與蒸發之階段，只能代表觀測時的情況。

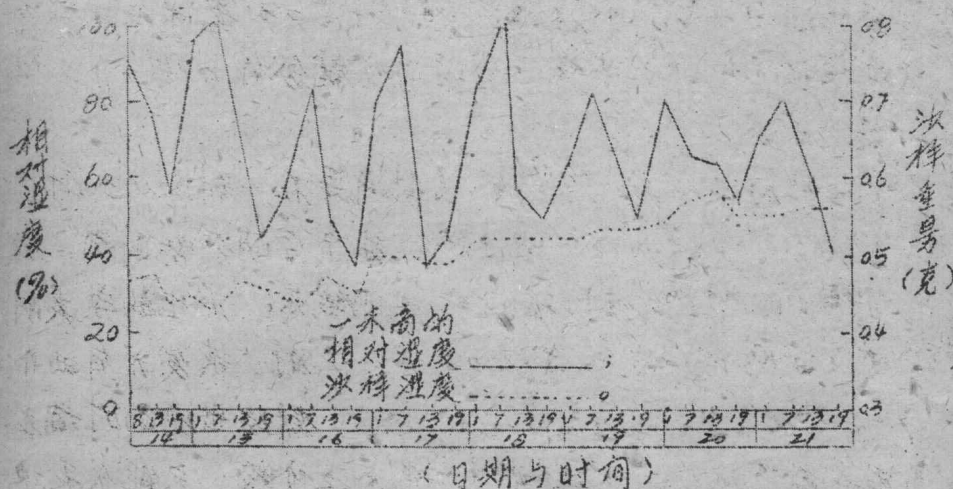
表六 格狀汽丘 40 厘米深處汽層的水分蒸發量與凝結量  
(絕對干質量的 %)

1961

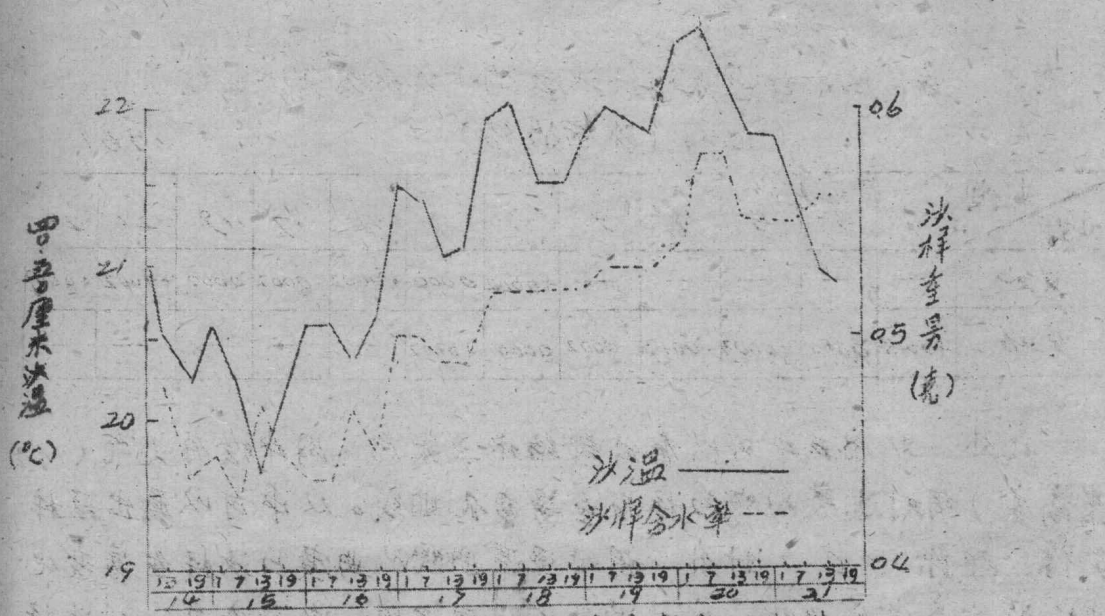
日期	1	3	5	7	9	11	13	15	17	19	21	23
9.25	-	-	-	-	-	+0.004	0.000	+0.002	-0.002	0.000	+0.002	+0.009
9.26	+0.018	0.000	-0.003	-0.017	-0.002	0.000	+0.002	-	-	-	-	-

此外，從圖五中可以看出現凝結水之來源，圖中繪有大氣(一米高度)相對濕度曲線和樣品重量變化曲線。從中可以看出現這樣關係，即除 15 日 7 時外，相對濕度曲線的曲度與樣品重量變化曲線的曲度完全一致；相對濕度曲線每出現一次最高峯，則樣品

重量变化曲线亦出现一次最高峯，仅出现的时滯略有推迟。關於这真是可以理解的，即湿润空气传播到 40 厘米沙层深处，需一段時間，結晶水增加到天秤 罩之内，也需要一段時間，故样品重量增加到高峯較迟。从上述二曲线關係看來，大气中湿润之水汽是糾結水的来源。



圖五 空氣相對濕度與沙樣重量變化之關係



圖六 沙層中沙溫與樣品含水率變化曲線

關於凝結水与溫度關係，我们也做了观测，但是，其結果與常規相反，即溫度上升时产生凝結水；反之则蒸发。应当说，这是不付合事实和理论的，应进一步研究。为了今后工作参考，所测得的結果绘于图六中。

#### 四、总结

通过今年的工作，在凝結水的量上及測定方法有如下收穫：

- 1) 我们认为第五种方法比较切合实际情况，可以做为今后測定凝結水的项目；
- 2) 棱状沙丘沙层中确实存在凝結水，其量还不很大，对固沙植物渡过旱季或旱年有很大意義；
- 3) 關於凝結水之来源，生成条件尚须进一步研究。

执筆人 陈文瑞

于1961.10.16.